

Găydonescu Nicoleta, 424 D

Lucrarea nr. 5 - Proprietăți ale materialelor feromagnetice și ferimagnetice la temperaturi mari

① Scopul lucrării

Scopul lucrării este de a determina permeabilitatea complexă relativă a materialelor feromagnetice în funcție de frecvență, de a evidenția curba de histerezis care caracterizează aceste materiale și influența temperaturii asupra proprietăților de material.

Obiective teoretice:

Fe, Ni, Co sunt câteva materiale reprezentative pentru clasa materialelor feromagnetice. Acestea se caracterizează prin domenii magnetizate spontane de saturatie, dar orientate de zor datorat în absența unui câmp magnetic exterior.

Plasarea acestor materiale în câmp magnetic are ca rezultat orientarea momentelor dipolare ale domeniilor în direcția câmpului exterior.

În medii magnetice sunt valabile relațiile:

$$\text{rot } \vec{H} = \vec{j} \quad \begin{array}{l} \uparrow \\ \text{polarizare magnetică} \end{array}, \quad \text{div } \vec{B} = 0, \quad \vec{B} = \mu_0 (\vec{H} + \vec{M})$$

\downarrow intensitate câmp magnetic \downarrow magnetizarea materialului
 \downarrow inducție mag.

Caracteristicile cele mai importante ale materialelor feromagnetice sunt curbele de magnetizare obținute prin aplicarea unui câmp progresiv crescător unui material inițial demagnetizat.

Dependența dintre permeabilitatea de amplitudine μ_a și intensitatea câmpului H este descrisă de curba Rayleigh, care se poate aproxima printr-o dreaptă pentru valori reduse ale câmpului de vârf.

2. Tabelele și graficele împreună cu relațiile de calcul folosite pentru reprezentarea $\mu(H_{\max})$ și $B_{\max}(H_{\max})$

$$H = k_x * nr. \text{ div/orizontala} \quad B = k_y * nr. \text{ div/verticală}$$

Constantele k_x și k_y s-au calculat cu:

$$k_x = \frac{A_x N_1}{R_l l_e} \left[\frac{A/m}{div} \right] \quad | \quad k_y = \frac{A_y R C}{N_2 A_e} \left[\frac{T}{div} \right]$$

$l_e = 190 \text{ mm}$, $N_1 = N_2 = 1000 \text{ spire}$, $R_1 = 22 \Omega$, $R = 240 \text{ k}\Omega$, $A_e = 190 \text{ mm}^2$, $C = 3.3 \mu\text{F}$.

$$k_x = (A_x * N_1) / (R_1 * l_e) = (0.2 * 1000) / (22 * 190 * 10^{-3}) = 47.8 \text{ A/(m*div)}.$$

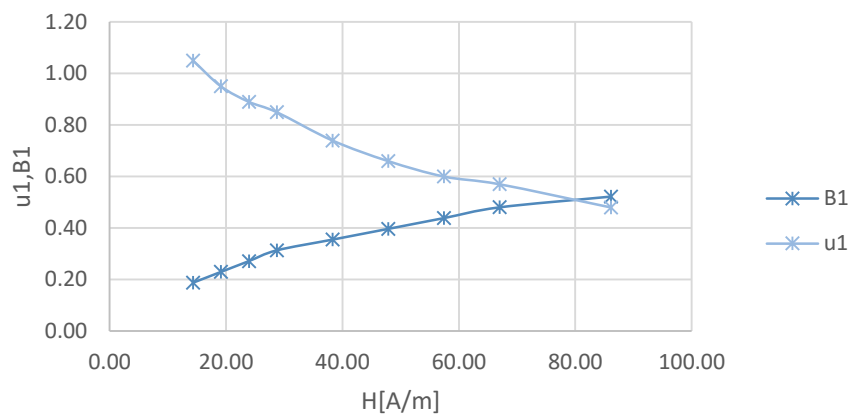
$$k_y = (A_y * R * C) / (N_2 * A_e) = (5 * 10^{-2} * 240 * 10^3 * 3.3 * 10^{-6}) / (1000 * 190 * 10^{-6}) = 0.21 \text{ T/div}$$

Tabel 5-1

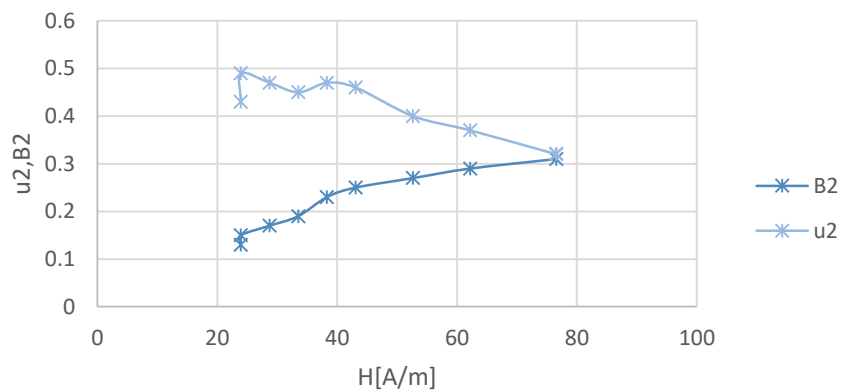
$f=50\text{Hz}$

	Amplitudinea vârf la vârf a semnalului sinusoidal [mV]	80	100	120	140	160	180	200	220	250
Tr1	$H_{\max} [\text{div}]$	0.3	0.4	0.5	0.6	0.8	1.0	1.2	1.4	1.8
	$H [\text{A/m}]^*$	14.355	19.140	23.925	28.710	38.280	47.850	57.420	66.990	86.130
	$H_c [\text{div}]$	0.2	0.3	0.4	0.5	0.6	0.7	0.8	0.8	0.9
	$H_c [\text{A/m}]^*$	9.570	14.355	19.140	23.925	28.710	33.495	38.280	38.280	43.065
	$B_{\max} [\text{div}]$	0.9	1.1	1.3	1.5	1.7	1.9	2.1	2.3	2.5
	$B_{\max} [\text{T}]^*$	0.187	0.229	0.270	0.312	0.354	0.395	0.437	0.478	0.520
	$B_{\text{rem}} [\text{div}]$	0.6	0.7	0.8	1.0	1.2	1.4	1.6	1.6	1.8
	$B_{\text{rem}} [\text{T}]^*$	0.125	0.146	0.166	0.208	0.250	0.291	0.333	0.333	0.374
	$\mu_1 = \frac{B_{\max}}{\mu_0 H_{\max}}$	1.036	0.952	0.898	0.864	0.735	0.656	0.605	0.567	0.480
Tr2	$H_{\max} [\text{div}]$	0.5	0.5	0.6	0.7	0.8	0.9	1.1	1.3	1.6
	$H [\text{A/m}]^*$	23.925	23.925	28.710	33.495	38.280	43.065	52.635	62.205	76.560
	$H_c [\text{div}]$	0.2	0.2	0.3	0.3	0.3	0.3	0.3	0.4	0.45
	$H_c [\text{A/m}]^*$	9.570	9.570	11.963	11.963	14.355	14.355	14.355	19.140	21.533
	$B_{\max} [\text{div}]$	0.6	0.7	0.8	0.9	1.1	1.2	1.3	1.4	1.5
	$B_{\max} [\text{T}]^*$	0.125	0.146	0.166	0.187	0.229	0.250	0.270	0.291	0.312
	$B_{\text{rem}} [\text{div}]$	0.3	0.3	0.4	0.5	0.5	0.6	0.6	0.7	0.8
	$B_{\text{rem}} [\text{T}]^*$	0.062	0.062	0.083	0.104	0.104	0.125	0.125	0.146	0.166
	$\mu_2 = \frac{B_{\max}}{\mu_0 H_{\max}}$	0.415	0.485	0.460	0.444	0.476	0.461	0.408	0.372	0.324
Tr3	$H_{\max} [\text{div}]$	0.5	0.6	0.6	0.7	0.8	1.1	1.3	1.4	1.7
	$H [\text{A/m}]^*$	23.925	28.710	28.710	33.495	38.280	52.635	62.205	66.990	81.345
	$H_c [\text{div}]$	0.2	0.2	0.2	0.3	0.3	0.4	0.4	0.4	0.5
	$H_c [\text{A/m}]^*$	9.570	9.570	9.570	14.355	14.355	19.140	19.140	19.140	23.925
	$B_{\max} [\text{div}]$	0.3	0.3	0.4	0.5	0.6	0.6	0.7	0.8	1.0
	$B_{\max} [\text{T}]^*$	0.062	0.062	0.083	0.104	0.125	0.125	0.146	0.166	0.208
	$B_{\text{rem}} [\text{div}]$	0.1	0.1	0.15	0.2	0.2	0.3	0.3	0.3	0.3
	$B_{\text{rem}} [\text{T}]^*$	0.021	0.021	0.031	0.042	0.042	0.062	0.062	0.062	0.062
	$\mu_3 = \frac{B_{\max}}{\mu_0 H_{\max}}$	0.206	0.171	0.230	0.247	0.259	0.188	0.186	0.197	0.203

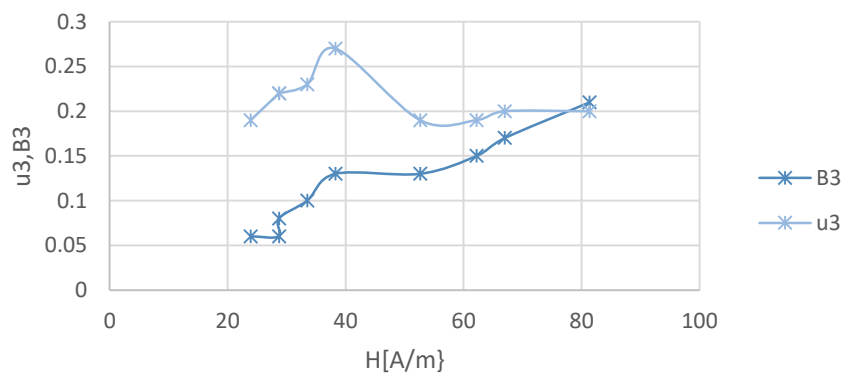
Dependențele μ_1 și B_1 în funcție de H_1



Dependențele μ_2 și B_2 în funcție de H_2



Dependențele μ_3 și B_3 în funcție de H_3

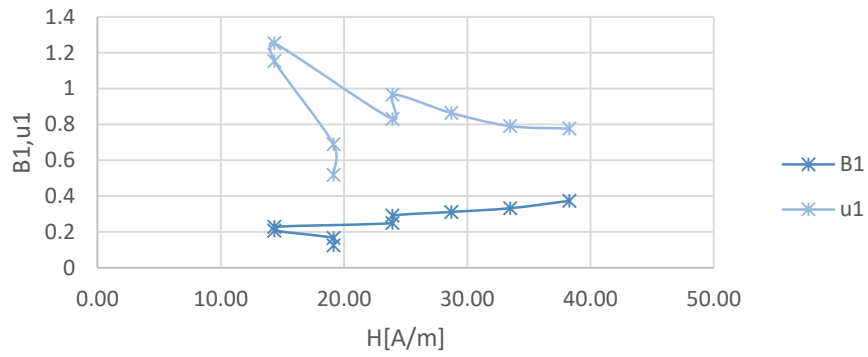


Tabel 5-1

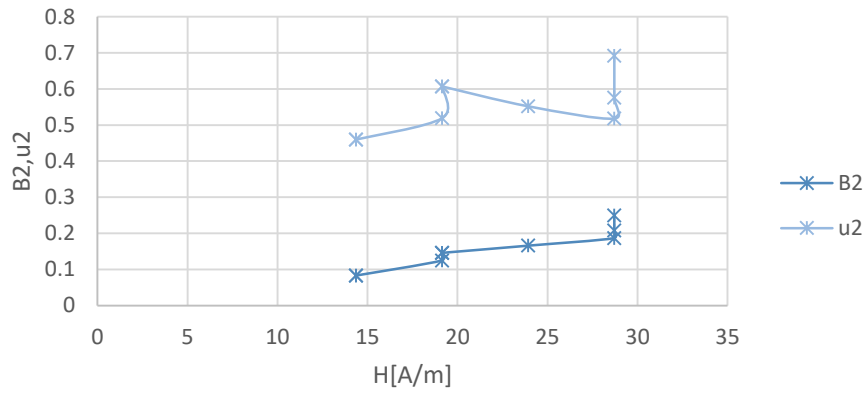
f=75Hz

	Amplitudinea vârf la vârf a semnalului sinusoidal [mV]	80	100	120	140	160	180	200	220	250
Tr1	H _{max} [div]	0.4	0.4	0.3	0.3	0.5	0.5	0.6	0.7	0.8
	H [A/m]*	19.140	19.140	14.355	14.355	23.925	23.925	28.710	33.495	38.280
	H _c [div]	0.3	0.3	0.2	0.3	0.3	0.3	0.4	0.5	0.5
	H _c [A/m]*	14.355	14.355	9.570	11.963	14.355	14.355	19.140	21.533	23.925
	B _{max} [div]	0.6	0.8	1.0	1.1	1.2	1.4	1.5	1.6	1.8
	B _{max} [T]*	0.125	0.166	0.208	0.229	0.250	0.291	0.312	0.333	0.374
	B _{rem} [div]	0.4	0.6	0.7	0.8	0.9	1.0	1.1	1.2	1.3
	B _{rem} [T]*	0.083	0.125	0.146	0.166	0.187	0.208	0.229	0.250	0.270
	$\mu_1 = \frac{B_{max}}{\mu_0 H_{max}}$	0.519	0.690	1.153	1.253	0.831	0.967	0.864	0.791	0.777
Tr2	H _{max} [div]	0.30	0.30	0.40	0.40	0.40	0.50	0.60	0.60	0.60
	H [A/m]*	14.355	14.355	19.140	19.140	19.140	23.925	28.710	28.710	28.710
	H _c [div]	0.10	0.10	0.20	0.20	0.20	0.20	0.25	0.25	0.25
	H _c [A/m]*	4.785	4.785	9.570	9.570	9.570	9.570	11.963	11.963	11.963
	B _{max} [div]	0.40	0.40	0.60	0.70	0.70	0.80	0.90	1.00	1.20
	B _{max} [T]*	0.083	0.083	0.125	0.146	0.146	0.166	0.187	0.208	0.250
	B _{rem} [div]	0.30	0.30	0.40	0.40	0.50	0.50	0.60	0.60	0.60
	B _{rem} [T]*	0.062	0.062	0.083	0.083	0.104	0.104	0.125	0.125	0.125
	$\mu_2 = \frac{B_{max}}{\mu_0 H_{max}}$	0.460	0.460	0.519	0.607	0.607	0.552	0.518	0.576	0.692
Tr3	H _{max} [div]	0.40	0.50	0.50	0.60	0.70	0.80	0.80	0.90	1.10
	H [A/m]*	19.140	23.925	23.925	28.710	33.495	38.280	38.280	43.065	52.635
	H _c [div]	0.100	0.200	0.200	0.200	0.250	0.300	0.300	0.300	0.350
	H _c [A/m]*	4.785	9.570	9.570	9.570	11.963	14.355	14.355	14.355	16.748
	B _{max} [div]	0.20	0.30	0.30	0.40	0.40	0.40	0.50	0.50	0.60
	B _{max} [T]*	0.042	0.062	0.062	0.083	0.083	0.083	0.104	0.104	0.125
	B _{rem} [div]	0.10	0.10	0.15	0.15	0.15	0.20	0.20	0.20	0.20
	B _{rem} [T]*	0.021	0.021	0.031	0.031	0.031	0.042	0.042	0.042	0.042
	$\mu_3 = \frac{B_{max}}{\mu_0 H_{max}}$	0.174	0.206	0.206	0.23	0.194	0.172	0.291	0.258	0.188

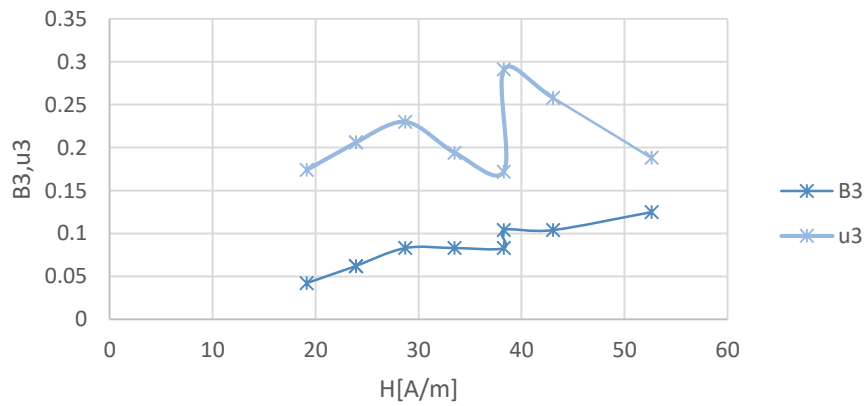
Dependențele μ_1 și B_1 în funcție de H_1



Dependențele μ_2 și B_2 în funcție de H_2



Dependențele μ_3 și B_3 în funcție de H_3



③ Calculul grosimii interfeierului pentru

miezul n_3 :

$$\mu_e = \frac{\mu'}{1 + \sigma \mu'}$$

(pentru permeabilitate efectivă a miezului)

$$\sigma = \frac{\delta}{l} \Rightarrow \delta = \sigma \cdot l$$

• $f = 50 \text{ Hz}$

$$\mu_2 = 3649,012$$

$$\mu_3 = 1824,506$$

$$\mu_3 = \frac{\mu_2}{1 + \sigma \cdot \mu_2} \Rightarrow \mu_2 = \frac{\mu_2 - \mu_3}{\mu_2 \cdot \mu_3} \Rightarrow$$

$$\Rightarrow \sigma = 0,274 \cdot 10^{-3}$$

$$\delta = \sigma \cdot l \Rightarrow \delta = 0,274 \cdot 10^{-3} \cdot 190 = 52,06 \mu\text{m}.$$

• $f = 45 \text{ Hz}$

$$\mu_2 = 3765,204$$

$$\mu_3 = 1917,251$$

$$\mu_3 = \frac{\mu_2}{1 + \sigma \cdot \mu_2} \Rightarrow \mu_2 = \frac{\mu_2 - \mu_3}{\mu_2 \cdot \mu_3} \Rightarrow$$

$$\Rightarrow \sigma = 0,2559 \cdot 10^{-3}$$

$$\delta = \sigma \cdot l = 48,62 \mu\text{m}.$$

④. Răspunsuri la probleme și întrebări

1. Armonări între materiale feromagnetice și ferimagnetice:

- au aceleași tipuri de pierderi
- prezintă domenii de valori apropiate pentru H_{max} , H_c , B_{max} și B_{rem}
- au aceeași comportare a ciclului histerezis

Deosebiri:

- se înregistrează pierderi mai mici în cazul materialelor ferimagnetice la frecvențe înalte

2. Relația care definește permeabilitatea efectivă a unui miez cu întrefier:

$$\mu_e \approx \frac{\mu}{1 + \sigma \cdot \mu} \quad \Rightarrow \quad \mu_e \approx \frac{\mu}{1 + \frac{\sigma}{l_m + \sigma} \cdot \frac{A}{A_f}}$$
$$\sigma = \frac{\sigma}{l_m + \sigma} \cdot \frac{A}{A_f}$$

A - arie miez, l_m - lungime miez, A_f - arie întrefier

σ - factor de demagnetizare.

3. Permeabilitatea și domeniul Rayleigh pentru un material feromagnetic.

Permeabilitatea de amplitudine este dată de panta ciclului de histerezis din zona III.

Curba Rayleigh descrie dependența dintre permeabilitatea de amplitudine și intensitatea câmpului H . Această curbă se poate aproxima printr-o dreaptă în cazul valorilor reduse ale câmpului.

4. Odată cu creșterea frecvenței de lucru, crește și curba ciclului de histerezis, ceea ce determină pierderi mai mici.

5. Întrefierul are rolul de a micșora valoarea permeabilității complexe și a pierderilor date de partea imaginară, crescând astfel factorul de calitate al materialului.

6. Prezența întrefierului determină pierderi mai mici, deci influențează prop. materialului.

7. Semnul minus apare în urma transformării permeabilității în complex.

$$\mu = \mu' - j\mu'' = \frac{B'}{\mu_0 H} = \frac{B}{\mu_0 H} \cdot e^{-j\delta \mu}$$

$$8. \quad \operatorname{tg} \delta = \frac{\pi}{\omega L_0} \Rightarrow \delta = \arctg \frac{\pi}{\omega L_0}$$

$$\mu = \frac{\underline{\mu}}{1 + \frac{\delta}{\operatorname{Im} + \delta} \cdot \frac{A}{A\delta} \cdot \underline{\mu}}$$

9. La inductii mici, pierderile prin histerezis sunt mici datorită dependenței neliniare dintre B și H .

10. Puterea și factorul de pierdere scad direct proporțional cu rezistivitatea, ceea ce determină necesitatea unor tole cât mai groase în realizarea miezurilor feromagnetice.

Concluzii și comentarii

La frecvențe mari ciclul histerezis este liniar pe când la frecvențe mai mici (ex: 50Hz) acesta prezintă atât forme liniare cât și neliniare, ceea ce înseamnă că se intră într-o zonă de pierdere.

Zona fără pierdere este prezentată ca un fel de evol.

În prezenta lucrare mi s-a evidențiat și avantajul interfeței, acesta menținând schimbări de rezistență cu nivelul fluxului.

Acest lucru încurajează alegerea bobinelor cu interfeier în detrimentul celor clasice.

Ciclul de histerezis la frecventa de 50 Hz si la frecventa de 400 Hz :

